

## 縦衝撃を受けるモルタル棒の動的挙動

広島大学工学部 正員 佐藤 誠

学生員 稲葉圭吾

森 繁昌

### 1 はじめに

本研究は多孔体または複合体の動的性質を実験的に究明することを目的とし、その第1段階としてモルタル棒を対象とし、これに人種類の縦衝撃を加え、その動的挙動を明らかにしようとするものである。縦衝撃を受けるコンクリート、岩石など、複合体の動的性質についてT. Yang<sup>1)</sup>らが実験的研究を行なっている。

ここでは主としておもに空隙を有する多孔体の動的挙動に注目し、モルタル中の空気量を変化させたものに対する縦衝撃実験を行なった。一方 C. Sve<sup>2)</sup>らが求めている多孔物質に対する波動伝播特性の適用性を検討する目的で多孔エポキシ棒についても実験を行なった。

### 2 供試体と実験方法

実験に使用した供試体寸法とひずみ測定位置を図-1に示す。モルタル棒は早強ポルトランドセメントと置換標準砂を用い、水セメント比は全供試体とも0.51とした。モルタル中の空気量を変化させるためAE剤(ボソリス3.03)を使用し、空気量を2%, 9%, 14%～15%, 17.5%の4段階とし、それぞれの供試体をI, II, III, IVとした。なお比重から求めた密度はそれそれ2.04, 1.99, 1.94, 1.89である。動的試験に使用した円断面モルタル棒は塩化ビニルペイプを使用して作った。静的弾性係数(E<sub>s</sub>)は圧縮試験と引張試験を行ない求めた。特に引張試験は供試体の両端をアラルダイトDで接着して行なった。動的弾性係数(E<sub>d</sub>)はE<sub>s</sub>-f<sub>u</sub>より計算した。縦衝撃は入射圧縮波の波長を変えるためポンプ銃弾と落錘による方法を用いた。静的試験は材令7日, 10日, 14日に行ない、動的試験は材令14日に行なった。以下に示す静的試験の結果は材令14日の結果である。

### 3 実験結果と考察

モルタル棒内の応力波の伝播速度を空気量別、入力別にして表-1に示す。それぞれの入力に対するI, IIの場合、伝播速度は同程度であるが、IIIの場合はIの場合に比較して大きい。またIVの場合にはIの場合よりも小さい。応力波の伝播速度がf<sub>u</sub>=E<sub>s</sub>/ρで表せる場合IIIでは弾性係数の減少率と密度の減少率とが同程度であり、IIIの場合には密度の減少率が、IVの場合には弾性係数の減少率がそれぞれIに比較して大きいと考えられる。

空気量別の静的弾性係数(E<sub>s</sub>)と、空気量別、入力別にした動的弾性係数(E<sub>d</sub>)を表-2に示す。この表によると、落錘によるE<sub>d</sub>がポンプ銃弾によるE<sub>d</sub>よりも大きい。落錘によるE<sub>d</sub>とE<sub>s</sub>を比較すると、Iの場合には同程度であるが、II, III, IVの場合ではE<sub>d</sub>がE<sub>s</sub>よりも5%～15%程度大きくなっている。

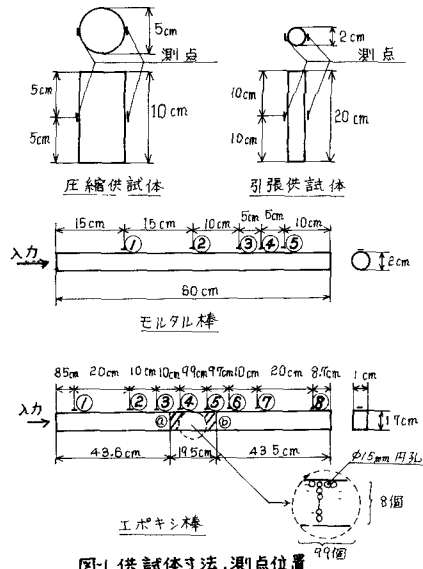


図-1 供試体寸法、測点位置

空気量 ケーブル ス	落錘		ポンプ銃弾	
	立ち上がり時	ピーク時	立ち上がり時	ピーク時
I	3600	3460	3590	3420
II	3620	3690	3570	3520
III	3690	3760	3640	3450
IV	3440	3340	3470	3400

表-1 空気量、入力～伝播速度(m/sec)

Ⅱ, Ⅲと空気量が増えてても  $E_D$  の変化はみられないがⅣの場合両入力とも  $E_D$  が小さくなっている。なお、空気量の変化と、静的なポアソン比の変化との間に明確な関係はみられない。動的ポアソン比は、空気量が増加するにつれて減少する傾向を示した。また、動的ポアソン比を入力別にみると落錘によるものの方がボンブ銃弾によるものよりも 15% 程度大きくなっている。

各測点のひずみピーコ値を表-3 に示す。測点①でのひずみピーコ値をみるとⅣの場合、他のひずみピーコ値よりも 10% 程度大きくなっている。これはⅣの場合の  $E_D$  が他と比較して小さいからである。また、斜線では測点①のひずみピーコ値と他の測点のひずみピーコ値の比を  $\rho$  で、ボンブ銃弾による入力のものについて示している。

動的引張強度を、モルタル棒の反射端側の破壊位置のひずみと動的弾性係数を用いて計算し静的な引張強度と比較すると、動的引張強度の方が静的引張強度より 2 ~ 3 倍大きくなっている。

C.Sue が提案した式を用いて計算した伝播速度を表-4 に示す。ここで、 $v_0$  は工の場合の伝播速度を用い、空隙率  $\phi$  は  $\phi = \frac{E_D - E_S}{E_D}$  で計算した。この表によると空隙率が大きくなると伝播速度は小さくなっている傾向があるが、これはⅡ, Ⅲの場合実験における傾向と一致していない。しかし、Ⅳの場合については両入力による実験とよくあくいる。

上ボキ・樹脂接着した供試体にボンブ銃弾で入力した場合の各測点のひずみピーコ値を表-5 に示す。測点③, ④, ⑤, ⑥, ⑦ を比較すると、③間に於いての⑦のひずみピーコ値は小さくなっている。④間に於いての⑦のひずみピーコ値は 50% 程度小さくなっている。また伝播速度は表-4 に示すようにになつた。ここで測点③間, ④間, ⑤間についてその伝播速度をみると、測点③間では測点②間, 测点④間よりも大きくなっている。また測点④間では測点③間よりも小さくなっている。

さらに測点③と境界(b)間の伝播速度は測点②, ③間における

測点	②	③	④	⑤	⑥	⑦
ひずみ	4440	3930	5556	4938	2790	2700

ものよりも大きくなり、測点③と

表-5. 測点～ひずみピーコ値 ( $\times 10^6$ )

境界(b)間の伝播速度は測点④, ⑤間のものよりも小さくなっている。連続部分の伝播速度を  $v_0$  として C.Sue が提案した式で不連続部分の伝播速度を計算すると、実験値よりも 13% 程度小さくなっている。

E <sub>D</sub> E <sub>S</sub>	落錘		ボンブ銃弾		E <sub>S</sub>
	立ち上がり時	ピーク時	立ち上がり時	ピーク時	
I	2.70	2.52	2.56	2.45	2.65
II	2.63	2.77	2.61	2.53	2.40
III	2.70	2.81	2.60	2.37	2.40
IV	2.15	2.27	2.32	2.22	2.02

表-2 空気量入力～  $E_D, E_S (\times 10^5 \text{ kg/cm}^2)$

測点 カ セス	ひずみピーコ値				
	①	②	③	④	⑤
落錘	599	634		609	
II	561	586	558		498
III	598	554	540	571	479
IV	639	664	645	630	622
ボンブ 銃弾	757	682		628	
II	781	741	668	618	584
III	776	756	709	659	629
IV	868	850	827	675	750

表-3 空気量入力～ひずみピーコ値 ( $\times 10^6$ )

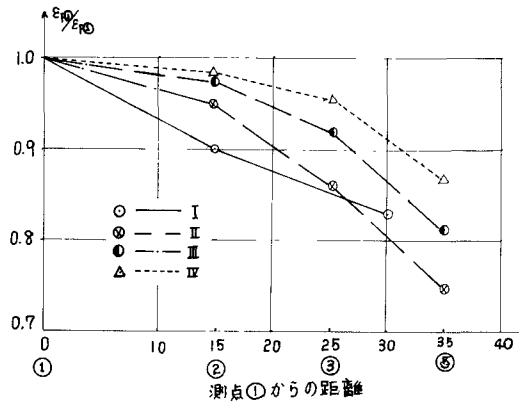


図-2  $E_D/E_{P0}$  ～ 距離

ケ ス	C.Sue の式による $v = \sqrt{\frac{E_D}{\rho}}$	ボンブ銃弾による	
		落錘	ボンブ銃弾
II	3560	3550	3440
III	3510	3500	3480
IV	3460	3450	3240

表-4 C.Sue, 鎮による伝播速度 (m/sec)

測点	②～③	③～④	④～⑤	⑤～⑥	⑥～⑦	C.Sueによる
速度	1667	1739	1453	1314	2000	1270

表-5 測点間の伝播速度 (m/sec)

1) Goldsmith, W. M. Palibok and T. Yang; Dynamic Behavior of Concrete, Experimental Mechanics, Vol. 6, NO. 2, pp. 5-19, 1966.

2) C.Sue. Elastic wave propagation in a porous laminated Composite Int J Solids Str 16/18, 1981.